

مدل‌سازی جریان در محیط متخالخل با استفاده از روش اجزاء محدود ترکیبی هیبرید

کریم گودرزی (دانشجوی کارشناسی ارشد)

بهار فیروزانادی (دانشیار)

دانشکده مهندسی مکانیک، دانشگاه صنعتی شریف

در این نوشتار جریان دوفازی در محیط متخالخل با استفاده از روش اجزاء محدود ترکیبی هیبرید پیاده‌سازی و حل شده است. با استفاده از تعریف فشار و سرعت کلی، معادلات جریان در محیط متخالخل به فرم ساده‌تری از لحاظ عددی تبدیل شده است. در این معادلات، معادله‌ی فشار و درجه‌ی اشباع نسبت به هم وابستگی کمی دارند ولی سرعت در معادله‌ی درجه‌ی اشباع مستقیماً ظاهر می‌شود. به همین دلیل برای رسیدن به جواب‌های قابل قبول باید سرعت با دقت خوبی محاسبه شود. روش هیبرید معادلات سرعت و فشار را بهم و به طور هم زمان حل می‌کند و از خطاهای ناشی از مشتق‌گیری عددی از میدان نشان برای رسیدن به میدان سرعت اجتناب می‌کند. بدین ترتیب میدان سرعت و فشار دقت یکسانی دارند. معادله‌ی درجه‌ی اشباع بیز از یک روش هیبریدی گسترش می‌شود. در این نوشتار میدان‌های یک بعدی و دو بعدی با استفاده از روش مذکور حل شده است. نتایج نشان داده است که جواب‌های به دست آمده از این روش، خصوصاً در شبکه‌ی درشت، نسبت به روش‌های دیگر از جمله روش‌های اختلاف محدود و اجزاء محدود گارکین به حل دقیق نزدیک‌تر است.

karim.goodarzi@gmail.com
firoozabadi@sharif.edu

وازگان کلیدی: محیط متخالخل، اجزاء محدود ترکیبی هیبرید، جریان دوفازی.

مقدمه

شناخت جریان در محیط متخالخل برای مهندسین اهمیت زیادی دارد. از جمله روش‌هایی که برای این کار پیشنهاد می‌شود، روش‌های آزمایشگاهی و شیوه‌سازی عددی است. از آنجا که روش‌های آزمایشگاهی هزینه‌بر هستند، عمدۀ‌ی رویکردها استفاده از روش‌های عددی است. شبیه‌سازی جریان در محیط متخالخل مشکلات خاصی دارد. در این محیط از معادله‌ی دارسی برای بیان حرکت سیال استفاده می‌شود. در این معادله ضریب نفوذپذیری نسبی تابعی از درجه‌ی اشباع سیال است که این خود باعث غیرخطی شدن معادلات می‌شود. همچنین معادلات در محیط متخالخل از نوع معادلات جابه‌جاوی - پخشی بوده که جمله‌ی جابه‌جاوی آن قوی تر است و این امر باعث افزایش اتفاق عددی^۱ معادلات می‌شود؛ همچنین معادلات به شکل هذلولی بوده که جواب آن‌ها همراه با ناپیوستگی است. از طرف دیگر در پیشتر مسائل واقعی، محیط متخالخل محیطی ناممگن است و این امر باعث تغییرات شدید مکانی می‌شود. روش‌هایی از نوع اجزاء محدود کلاسیک، هنگامی که محیط همگن باشد، جواب‌های نسبتاً خوبی ارائه می‌کنند. اما با وجود ناهمگنی در محیط، به طور مثال ناهمگنی در تخلخل یا نفوذپذیری، این روش‌ها نمی‌توانند ناپیوستگی‌ها را به خوبی مدل کرده و به این ترتیب جواب‌هایی که از این روش‌ها به دست آمده دقت خوبی نخواهند داشت. برای غلبه بر این مشکل، روش‌هایی به شکل حجمی توأم آن را به راحتی با استفاده از روش‌های استاندارد حل کرد. نتایج به دست آمده

تاریخ: دریافت ۷/۷/۱۳۸۶، داوری ۱۲/۷، پذیرش ۳/۵/۱۳۸۸.

که در آن φ ضریب تخلخل، q چشمیه یا چاه و μ چگالی است. وقتی از واژه‌ی امتزاج ناپذیر استفاده می‌شود منظور این است که هیچ انتقال جرمی بین دو فاز وجود ندارد. به سادگی می‌توان نشان داد که قانون بقای جرم، برای هر فاز در محیط متخلخل مطابق رابطه‌ی ۲ قابل بیان است:^[۶]

$$\frac{\partial(\varphi\rho_\alpha S_\alpha)}{\partial t} + \nabla \cdot (\rho_\alpha \vec{u}_\alpha) = q_\alpha \quad \alpha = w, n, \quad (2)$$

که در آن w علامت فاز ترکننده، n علامت فاز غیر ترکننده، S_α درجه‌ی اشباع هر فاز و u_α سرعت همان فاز است.

قانون دارسی

دارسی رابطه‌ی بین نزخ جریان و عامل بوجود آورنده‌ی آن را در سال ۱۸۵۶ ارائه کرد که به «قانون دارسی» مشهور است.^[۷] با در نظر گرفتن اثرات گرانش، قانون دارسی در حالت کلی (یک، دو، یا سه بعدی) برای سیال تک فاز چنین است:^[۸]

$$\vec{u} = \frac{-k}{\mu} (\nabla P - \rho g \nabla D) \quad (3)$$

که در آن ∇P تغییرات فشار، μ لزجت سیال، k نفوذپذیری ماده‌ی متخلخل، g شتاب گرانش و D معرف عمق (تابع دلخواهی از سیستم مختصات) است. در حالتی که بیش از یک فاز در محیط حضور داشته باشد، با اندک اصلاحی می‌توان از قانون تعمیم‌بافته‌ی دارسی استفاده کرد:^[۹]

$$\vec{u}_\alpha = \frac{-kk_{r\alpha}}{\mu_\alpha} (\nabla P_\alpha - \rho_\alpha g \nabla D) \quad (4)$$

که در آن $k_{r\alpha}$ نفوذپذیری نسبی برای فاز α بوده و تابعی از درجه اشباع این فاز در نقطه‌ی مورد نظر S_α است.

برای هر فاز در محیط متخلخل معادله‌ی ۳ و ۴ برقرار است. هدف در این نوشتار، حل جریان دوفازی غیرقابل امتزاج و تراکم ناپذیر است. معادله‌ی ۲ برای دو فاز w و n مطابق رابطه‌ی ۵ بازنویسی می‌شود:^[۱۰]

$$\frac{\partial(\varphi\rho_n S_n)}{\partial t} + \nabla \cdot \left(\frac{-kk_{rn}}{\mu_n} (\nabla P_n - \rho_n g \nabla D) \right) = q_n \quad (5)$$

$$\frac{\partial(\varphi\rho_w S_w)}{\partial t} + \nabla \cdot \left(\frac{-kk_{rw}}{\mu_w} (\nabla P_w - \rho_w g \nabla D) \right) = q_w \quad (6)$$

با حل دو معادله‌ی ۵ و ۶ یک جریان دوفاز در محیط متخلخل به طور کامل مشخص می‌شود. مجهولات مسئله‌ی عبارت‌اند از: S_n , S_w , P_n , P_w . بدین ترتیب برای حل معادلات فوق باید دو معادله‌ی کمکی به دست آورد. برای درجه اشباع‌ها می‌توان نوشت:

$$S_w + S_n = 1 \quad (7)$$

از طرفی فشار موینگی P_c را می‌توان طبق رابطه‌ی ۸ بیان کرد:

$$P_n - P_w = P_c \quad (8)$$

در متون فنی روابطی برای فشار موینگی برحسب درجه اشباع ارائه شده است. با استفاده از این روابط می‌توان دستگاه معادلات را کامل کرد. بدین ترتیب با توجه به معادلات کمکی، به صورت دستگاه معادلات (۵ – ۸) بسته می‌شود و به دستگاه معادلاتی با چهار معادله و چهار مجهول تبدیل می‌شود.

از این روش با روش اجزاء محدود کلاسیک برای هندسه‌های کاملاً ناهمگن مقایسه و نشان داده شد که خطوط جریانی که از روش هیبرید به دست آمده بسیار دقیق‌تر از روش اجزاء محدود کلاسیک است.^[۱۱] روش اجزاء محدود ترکیبی اولین بار توسط شاونت و همکاران برای جریان دوفاز در محیط متخلخل مورد مطالعه قرار گرفت.^[۱۲] پس از آن بود که شاونت روش اجزاء محدود ترکیبی هیبرید^[۱۳] را ارائه کرد.

معادلات حاکم بر جریان چندفازی در محیط متخلخل مشتمل است بر قانون دارسی تعمیم‌بافته، قانون بقای جرم برای هریک از فازها، و دو رابطه نیز برای فشار موینگی و نفوذپذیری نسبی. این معادلات شدیداً به یکدیگر وابسته‌اند و حل آن‌ها با روش‌های عددی مرسوم مشکل است، ولذا آن‌ها را با تبدیلات خاصی به معادلاتی با وابستگی کم تر و همچنین فرم ریاضی قابل قبول تر تبدیل می‌کنند. لازم به ذکر است که معادلاتی که به این روش به وجود می‌آید معادلات گذرا و میانی بوده و فعلًاً معنای خاص فیزیکی برای آن‌ها پیدا نشده است. یکی از این گروه معادلات با استفاده از تعریف فشار کلی به دست می‌آید. در این فرم، معادله‌ی درجه اشباع به معادله‌ی اشباع ظاهر نمی‌شود. همچنین در این معادله سرعت به صورت صریح نمایان است و بدین ترتیب معادله‌ی فشار ربط پیدا می‌کند، ولی فشار مستقیماً در معادله‌ی درجه اشباع ظاهر نمی‌شود. همچنین در این معادله سرعت به صورت صریح نمایان است؛ لذا محاسبه‌ی دقیق میدان سرعت در یافتن جواب مسئله از اهمیت بسیاری برخوردار است. بدین ترتیب باید به دنبال روشی بود که میدان سرعت و فشار را به صورت هم زمان حل، و بقای موضوعی و کلی را حفظ کند. از طرف دیگر معادله‌ی درجه اشباع یک معادله‌ی گذرای جابه‌جا‌ی - پخشی است که در اغلب مسائل از جمله جابه‌جا‌ی غالب است. دقت حل این معادله نیز در حل زمانی اهمیت زیادی دارد.

در این نوشتار از روش اجزاء محدود ترکیبی هیبرید برای حل معادلات جریان دو فاز در محیط متخلخل استفاده شده است. در معادله‌ی فشار به جای درجه اشباع از درجه اشباع زمان قبل استفاده می‌شود. بدین ترتیب معادله‌ی فشار به صورت ضمنی و درجه اشباع به صورت صریح حل می‌شود. بهدلیل این که فشار بر اثر تغییر درجه اشباع تغییرات ناچیزی دارد، حل معادله‌ی فشار به صورت ضمنی توجیه‌پذیر می‌شود. بدین ترتیب ابتدا معادله‌ی دارسی حل می‌شود و سپس با به دست آوردن مقادیر فشار و سرعت، این مقادیر به صورت صریح در معادله‌ی درجه اشباع قرار گرفته و درجه اشباع مشخص می‌شود.

معادلات حاکم

در این تحقیق سیال را به صورت دوفازی (نفت و آب)، غیر امتزاجی، و غیر قابل تراکم در نظر گرفته‌ایم. معادلات حرکت سیال در محیط متخلخل شامل معادلات بقای جرم و اندازه حرکت هستند. از آن‌جا که استفاده از این اصول در محیط متخلخل با همان شکل عمومی امکان‌نیزی نیست، در محیط متخلخل معمولاً از روابط نیمه‌تجربی استفاده می‌شود؛ مثلاً چون سیال در محیط متخلخل با سرعت کمی جریان می‌یابد به جای معادله‌ی بقای اندازه حرکت از معادله‌ی نیمه‌تجربی دارسی استفاده می‌شود.

قانون بقای جرم

معادله‌ی بقای جرم در محیط متخلخل عبارت است از:

$$\frac{\partial}{\partial t} (\rho \varphi) + \left(\frac{\partial \rho u_x}{\partial x} + \frac{\partial \rho u_y}{\partial y} + \frac{\partial \rho u_z}{\partial z} \right) = q \quad (1)$$

بدین ترتیب معادله‌ی درجه اشباع عبارت خواهد بود از:^[۸]

$$\varphi \frac{\partial S_w}{\partial t} + \frac{df_w}{dS} \vec{u} \cdot \vec{\nabla} S_w - \frac{d}{dS} (\lambda f_w f_n) (\vec{K} \cdot \vec{\nabla} \vec{P}_{CM}) \cdot \vec{\nabla} S_w - \vec{\nabla} \cdot \left\{ \lambda f_w f_n \vec{K} \cdot \left[P_{CM} \frac{dp_c}{dS} - \vec{\nabla} ((\rho_w - \rho_n) g z) \right] \right\} = (\lambda f_w f_n p_c) \vec{\nabla} \cdot (\vec{K} \cdot \vec{\nabla} \vec{P}_{CM}) \quad (۱۹)$$

حال اگر فشار مویننگی مستقل از مکان باشد، می‌توان نوشت:^[۸]

$$\vec{u} = -\lambda \vec{K} \cdot (\vec{\nabla} P - (\rho_w f_w + \rho_n f) \vec{\nabla} g z) \quad (۲۰)$$

و لذا:

$$\vec{\nabla} \cdot (\vec{u}_w + \vec{u}_n) = 0 \quad (۲۱)$$

$$\varphi \frac{\partial S_w}{\partial t} + \frac{df_w}{dS} \vec{u} \cdot \vec{\nabla} S_w - \vec{\nabla} \cdot \left\{ \lambda f_w f_n \vec{K} \cdot \left[\frac{dp_c}{dS} \vec{\nabla} S_w - \vec{\nabla} ((\rho_w - \rho_n) g z) \right] \right\} = 0 \quad (۲۲)$$

بدین ترتیب با کمک عملیات ریاضی فوق دستگاه معادلاتی به دست آمده است که معادلات آن وابستگی ضعیف‌تری به هم دارند. در دستگاه قبلی مجهولات یک معادله در دیدگیری ظاهر می‌شود در حالی که معادلات فشارکاری (معادله‌ی ۲۰) و درجه اشباع (معادله‌ی ۲۲) فقط از طریق ضربه به هم وابسته‌اند. معادله‌ی فشارکاری از دسته معادلات بیضی است و معادله‌ی درجه اشباع معادله‌ی از نوع جابه‌جایی - پخشی است و بسته به فشار مویننگی می‌تواند رفتاری کاملاً پخشی یا کاملاً جابه‌جایی داشته باشد. هنگامی که درجه اشباع کاهش می‌باشد فشار مویننگی قابل اغماض است که منجر به تبدیل معادله‌ی درجه اشباع به یک معادله‌ی جابه‌جایی می‌شود. با به کار بردن رابطه‌ی بین فشار مویننگی و همچنین رابطه‌ی بین ضربه نفوذپذیری نسبی می‌توان دستگاه معادلات فوق را بر حسب مجهولات فشارکاری، سرعت کاری، و درجه اشباع فاز ترکننده حل کرد.

چنان که مشاهده می‌شود این دستگاه معادلات دستگاهی کامل است که با داشتن مقدار متخلخل و مقادیر چشممه‌های دوفاز، ضربه لزجت، توابع فشار مویننگی و ضربه نفوذپذیری نسبی دو فاز، و نیز مقدار ضربه نفوذپذیری سنگ مخزن به طور کامل قابل حل است. با کمی دقت مشخص می‌شود که معادلات این دستگاه به شدت به هم وابسته‌اند و همین امر باعث سخت شدن حل این دستگاه می‌شود، به طوری که ممکن است حل آنها با استفاده از روش‌های عددی مرسم مشکل باشد. برای حل این دستگاه باید این وابستگی را از بین برد و معادلات را به شکل قابل قبول تری از لحاظ ریاضی نوشت. برای این کار از تعریف فشارکاری^۶ و سرعت کلی^۷ استفاده شده است.^[۷]

قبل از تبدیل این معادلات به فرم قابل قبول، فشار مویننگی را چنین تعریف کردند:^[۱]

$$P_c = P_{CM}(x)p_c(S) \quad (۹)$$

ضریب $P_{CM}(x) \geq p_c(S)$ بیشترین مقدار فشار مویننگی در یک نقطه‌ی خاص است، و $p_c(S)$ تابعی بدون بعد است که ویژگی‌های آن در قالب روابط ۱۰ و ۱۱ آمده است:^[۸]

$$0 \leq p_c(S) \leq 1 \quad (۱۰)$$

$$p_c(S_c) = 0 \quad (۱۱)$$

S_c درجه اشباعی است که مقدار p_c در آن صفر است. برای رسیدن به معادلات قابل قبول، ابتدا دو معادله‌ی ۵ و ۶ را با هم جمع می‌کنند. با در نظر گرفتن دوفاز به صورت غیر قابل تراکم، معادله‌ی ۱۲ به دست می‌آید:

$$\vec{\nabla} \cdot (\vec{u}_w + \vec{u}_n) = 0 \quad (۱۲)$$

اکنون قابلیت حرکت^۸ یک فاز چنین تعریف می‌شود:

$$\lambda_i = \frac{k_{ri}}{\mu_i} \quad i = n, w \quad (۱۳)$$

برای رسیدن به فشارکاری توابع ۱۴ و ۱۵ تعریف می‌شوند:^[۸]

$$\gamma = \int_{S_c}^S \left(f_w - \frac{1}{2} \right) \frac{dP_c}{dS} ds \quad (۱۴)$$

$$\gamma_1 = \int_{S_c}^S \frac{df_w}{dS} p_c ds \quad (۱۵)$$

در این روابط $f_w = \frac{\lambda_w}{\lambda_w + \lambda_n}$ و $f_n = \frac{\lambda_n}{\lambda_w + \lambda_n}$ و فشار مویننگی در درجه اشباع S_c برابر صفر است. نهایتاً فشارکاری مطابق رابطه‌ی ۱۶ تعریف می‌شود:^[۸]

$$P = \frac{1}{\gamma} (P_w + P_n) + \gamma P_{CM} \quad (۱۶)$$

با گردایان گرفتن از طرفین معادله‌ی ۱۶ و با انجام عملیات جبری نتیجه می‌شود که:^[۸]

$$\vec{u} = \vec{u}_n + \vec{u}_w = -\lambda \vec{K} \cdot (\vec{\nabla} P + \gamma_1 \vec{\nabla} P_{CM} - \gamma_2 \vec{\nabla} g z) \quad (۱۷)$$

که در آن \vec{u} سرعت کاری است و γ_2 نیز چنین تعریف می‌شود:

$$\gamma_2 = \rho_w f_w + \rho_n f_n \quad (۱۸)$$

فضای توماس - راویارت در یک المان

ابتدا برای سادگی یک المان مستطیلی در نظر گرفته شده است (شکل ۱). برای این المان، بردار عمود v_k و چهار ضلع A_i و همچنین چهار میدان برداری

از خاصیت ۱ می‌توان انتظار داشت که:

$$\int_K \vec{\nabla} \cdot \vec{q} = \sum_{j=1}^4 Q_{K,j} \quad (24)$$

و از خاصیت ۲ می‌توان شار عبوری \vec{q} از ضلع ($i = 1, 2, 3, 4$) را مطابق رابطه‌ی ۲۵ به دست آورد:

$$\int_K \vec{q} \cdot \vec{v}_K = Q_{K,j} \quad (25)$$

بدین ترتیب هر میدان برداری $\vec{X}_K \in \vec{X}$ به طور کامل و با تعیین $Q_{K,j}$ معین می‌شود؛ $Q_{K,j}$ شار عبوری \vec{q} از ضلع ($i = 1, 2, 3, 4$) است. از ضرب برداری میدان‌های برداری فوق رابطه‌ی ۲۶ حاصل می‌شود:

$$A_{ij} = \int_K \vec{w}_j(x) \vec{w}_i(x) \quad (26)$$

بدین ترتیب ماتریس A_K برای المان K عبارت خواهد بود از:

$$A_K = [A_{ij}] = \frac{1}{\epsilon} \begin{bmatrix} 2 & -1 & 0 & 0 \\ -1 & 2 & 0 & 0 \\ 0 & 0 & 2 & -1 \\ 0 & 0 & -1 & 2 \end{bmatrix}$$

و معکوس آن نیز چنین است:

$$A_K^{-1} = \frac{1}{2} \begin{bmatrix} 2 & 1 & 0 & 0 \\ 1 & 2 & 0 & 0 \\ 0 & 0 & 2 & 1 \\ 0 & 0 & 1 & 2 \end{bmatrix}$$

تقریب یک تابع و گرادیان آن به وسیله‌ی اجزاء محدود

ابتدا دامنه‌ی حل Ω را به صورت دلخواه و یک تابع α به صورت زیر همچنین نمادهای زیر در نظر گرفته می‌شود:

$$\alpha : \Omega \rightarrow R^+$$

$M_h =$ مجموعه اجزاء h $= K$ η_h = مجموعه اضلاع اجزاء A

$\vec{w}_i =$ مجموعه گوشش‌های اجزاء h

در این نوشتار توابع اسکالار (مانند فشار) در یک المان به صورت مقداری ثابت

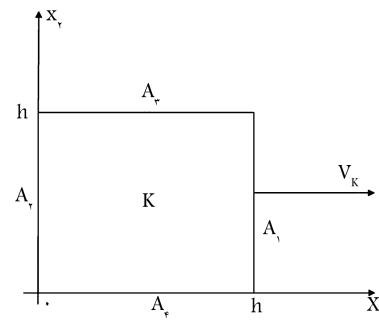
تقریب زده می‌شوند. حال تابع اسکالار $a(x)$ را در نظر بگیرید، تقریب این تابع در المان K برابر a_K است. برای هر المان K تابع فشار P و تابع سرعت \vec{q} را چنین تقریب می‌زنیم:

$P_K =$ تقریب متوسط فشار در هر المان K

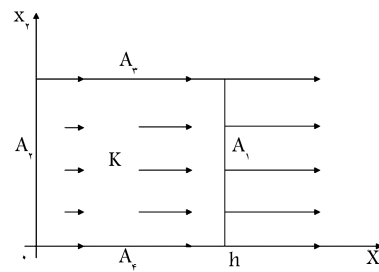
$A_i =$ تقریب متوسط فشار در ضلع A_i

$K =$ تقریب سرعت در المان K

از سوی دیگر، معلوم شد که مقدار \vec{q}_K ، هنگامی که شار عبوری آن از هر ضلع المان معلوم باشد، کاملاً معلوم است. بنابراین فشار و سرعت یک المان، هنگامی که



شکل ۱. شکل یک المان و طریقه‌ی شماره‌گذاری اضلاع آن و بردار نرمال المان.



شکل ۲. نمونه‌ی میدان برداری.

(۱) \vec{w}_i چنین تعریف می‌شود: $i = 1, 2, 3, 4$

$$\vec{w}_1(x) = \begin{bmatrix} \frac{x_1}{h} \\ 0 \\ \vdots \\ 0 \end{bmatrix}, \quad \vec{w}_2(x) = \begin{bmatrix} 0 \\ \frac{(x_1-h)}{h} \\ \vdots \\ 0 \end{bmatrix}$$

$$\vec{w}_3(x) = \begin{bmatrix} 0 \\ 0 \\ \vdots \\ \frac{x_2}{h} \end{bmatrix}, \quad \vec{w}_4(x) = \begin{bmatrix} 0 \\ 0 \\ \vdots \\ 0 \\ \frac{(x_2-h)}{h} \end{bmatrix}$$

برای نمونه میدان برداری w_1 در شکل ۲ نشان داده شده است. چنان‌که مشاهده می‌شود این میدان در هر نقطه موازی محور x_1 است، بر روی ضلع A_1 مقدار A_1 صفر می‌گیرد، و بر روی ضلع A_1 مقدار ثابت ($\frac{1}{h}$) به آن اختصاص می‌یابد. میدان‌های برداری دیگر نیز مانند میدان برداری w_1 هستند که با چرخش و انتقال می‌توان آنها را به دست آورد.

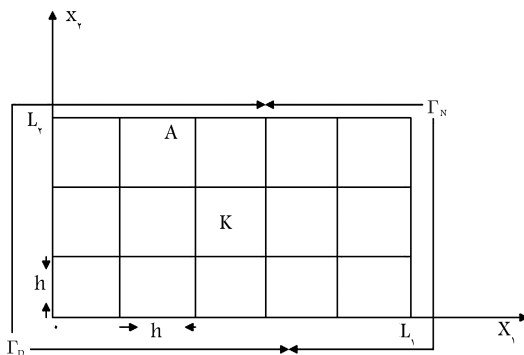
این چهار بردار مستقل خطی‌اند. می‌توان ثابت کرد که این میدان‌های برداری برای هر j (که $j = 1, 2, 3, 4$ است) دارای خواص زیر هستند:

$$1. \int_K \vec{\nabla} \cdot \vec{w}_j(x) = 1 \quad \text{ثابت است و } 1$$

$$2. \text{ برای هر } i (i = 1, 2, 3, 4) \text{ می‌توان نوشت } \vec{w}_j(x) \cdot \vec{v}_k \text{ بر روی ضلع } A_i \text{ ثابت است و } \int_{A_i} \vec{w}_j(x) \cdot \vec{v}_k = \delta_{ij}$$

این خاصیت‌ها بدان معناست که میدان برداری \vec{w}_j دارای شار عبوری به اندازه‌ی ۱ از A_j و صفر از دیگر اضلاع است. دیده می‌شود که فضای توماس - راویارت، فضای چهار بعدی \vec{X}_K است که به وسیله‌ی $(i = 1, 2, 3, 4)$ \vec{w}_i بر روی المان K تولید شده است. بدین ترتیب هر بردار $\vec{q} \in \vec{X}_K$ را می‌توان به صورت یک ترکیب خطی از بردارهای این فضای نوشت:

$$\vec{q}(x) = \sum_{j=1}^4 Q_{K,j} \vec{w}_j(x) \quad (23)$$



شکل ۴. نمونه میدان حل و شرایط مرزی اعمال شده.

که در آن F_K مقدار تقریبی $\int_k f(x)dx |K|$ مساحت المان، و ∂K مرزهای المان است. معادله پیوستگی ۳۲ به فرم ماتریس عبارت است از:

$$DIV_K Q_k = F_k \quad (33)$$

برای اعمال شرایط مرزی شکل ۴ به عنوان نمونه آورده شده است. بر روی مرز Γ_D و Γ_N شرایط مرزی از نوع فشاری و شار ثابت است:

$$\begin{aligned} TP_{K,A} &= P_{e,A} \quad \forall A \subset \Gamma_D \\ Q_{K,A} &= Q_{e,A} \quad \forall A \subset \Gamma \end{aligned} \quad (34)$$

بدین ترتیب به یک دستگاه کامل دست پیدا می کنیم که مجهولات آن Q_A در روی P_K , $TP_{K,A}$, Q_A است. حال اگر مجهولات مسئله را $TP_{K,A}$ در نظر گرفته و Q_A را برحسب $TP_{K,A}$ به دست آوریم به تقریب اجزاء محدود ترکیبی هیبرید می رسمیم.

فرمولاسیون اجزاء محدود ترکیبی هیبرید

چنان که گفته شد مجهولات اصلی مسئله، فشار TP_K بر روی هر ضلع در نظر گرفته شده است. بعد از عملیات ریاضی و تعیین P_K , Q_A بر حسب دستگاه $TP_{K,A}$ معادلات ۳۵ حاصل می شود:^[۱]

$$(M^{MH} - N^{MH}) TP = F^{MH} - G^{MH} \quad (35)$$

$$M_{A,A'}^{MH} = \sum_{A, A' \subset K} a_K A_{K,A,A'}^{-1} \quad \forall A, A' \in \eta_h^{MH} \quad (36)$$

$$N_{A,A'}^{MH} = \sum_{A, A' \subset K} a_K v_{K,A,A'} \quad \forall A, A' \in \eta_h^{MH} \quad (37)$$

$$F_A^{MH} = \sum_{A \subset K} \frac{\alpha_{K,A}}{\alpha_K} F_K \quad \forall A, A' \in \eta_h^{MH} \quad (38)$$

$$G_A^{MH} = \begin{cases} 0 & \text{if } A \text{ is interior} \\ Q_{e,A} & \text{if } A \subset \Gamma_N \end{cases} \quad (39)$$

مجهولات زیر در المان مشخص شده باشند، به طور کامل معین است:

$$\begin{cases} P_k \in R \\ TR_{K,j} \in R & i = 1, 2, 3, 4 \\ Q_{K,j} \in R & i = 1, 2, 3, 4 \end{cases} \quad (27)$$

اگر این ۹ مجھول در یک المان تعیین شوند، می توان گفت که حل جریان در المان کامل شده است. از طرفی این مجهولات از هم مستقل نیستند و توسط رابطه داری به هم ربط دارند:

$$\vec{q} = -a \nabla P \quad (28)$$

چنان که دیده می شود در رابطه ۲۸ اثرات گرانش زمین در نظر گرفته نشده است و a معروف نفوذپذیری است. فرم تغییراتی^۹ معادله ۲۸ چنین است:

$$A_K Q_k = a_K (P_K DIV_K^T - TP_K) \quad (29)$$

که در آن ماتریس A_K به سیله ماتریس های قبل تعریف شد، و ماتریس های دیگر معادله نیز چنین تعریف می شود:

$$DIV_K^T = \begin{bmatrix} 1 \\ 1 \\ 1 \\ 1 \end{bmatrix} \quad Q_k = \begin{bmatrix} Q_{K,1} \\ Q_{K,2} \\ Q_{K,3} \\ Q_{K,4} \end{bmatrix} \quad TP_K = \begin{bmatrix} TP_{K,1} \\ TP_{K,2} \\ TP_{K,3} \\ TP_{K,4} \end{bmatrix}$$

با توجه به معادله ۲۹ و با داشتن مقدار a_K , P_K در المان مورد نظر و مقدار TP_K بر روی اضلاع این المان، مقادیر $Q_{K,i}$ و به تبع آن \vec{q}_K قابل محاسبه است. حال دو المان K و K' را مطابق آنچه که در شکل ۳ آورده شده در نظر بگیرید. این دو المان در یک ضلع با هم اشتراک دارند، ولذا برای تابع h و \vec{q}_h داریم:

$$\begin{aligned} TP_{K,A} &= TP_{K',A} \\ Q_{K,A} + Q_{K',A} &= 0 \end{aligned} \quad (30)$$

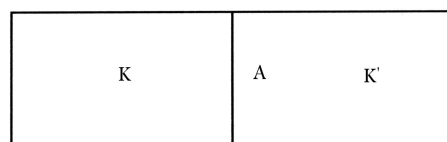
تقریب معادله پیوستگی به روش اجزاء محدود

برای تقریب معادله پیوستگی به روش اجزاء محدود ابتدا معادله ۳۱ را در نظر گرفته ایم:

$$\nabla \cdot \vec{q} = f(x) \quad \text{on } K \quad (31)$$

سپس آن را در یک تابع آزمون ($\vec{X} \in v$) ضرب کرده و بر روی المان K انتگرال می کیریم. بدین ترتیب به فرم تغییراتی زیر می رسیم:

$$\sum_{A=\partial K} Q_{K,A} = F_K \quad (32)$$



شکل ۳. دو المان در داخل میدان حل.

حال با تعیین مقادیر $Q_{SK,A}$ از معادله‌ی ۴۳ و قرار دادن آن‌ها در معادله‌ی ۴۴ به معادله‌ی برحسب TS و S خواهیم رسید. همچنین S را از معادله‌ی ۴۵ به دستگاه TS به دست می‌آوریم و در معادله‌ی قبلی جایگذاری می‌کنیم. بدین ترتیب به دستگاه معادلاتی برحسب TS خواهیم رسید. با حل این دستگاه مقدار درجه اشباع در روی سطوح المان‌ها و بدین علاوه آن مقدار درجه اشباع در مرکز المان‌ها به دست می‌آید. دیده می‌شود که ابتدا معادلات سرعت و فشار حل شده و با جایگزینی مقادیر سرعت در معادله‌ی درجه اشباع مقدار درجه اشباع در زمان بعدی به دست می‌آید. باید توجه داشت که جواب‌های به دست آمده به دقیق بودن سرعت وابسته است. روش هیبرید معادلات سرعت و فشار را هم‌زمان حل می‌کند و دارای دقت بالایی است؛ از این رو درجه اشباع‌های به دست آمده دارای دقت قابل قبولی خواهند بود. در ادامه خواهیم دید که این ویژگی باعث می‌شود جواب‌های این روش از روش‌های اجزاء محدود استاندارد به مراتب دقیق‌تر باشد.

در این معادلات برای به دست آوردن مقادیر نفوذپذیری نسبی از مدل تد^{۱۰} استفاده شده است:^[۱]

$$k_{rw}(S_w) = S_w^r, \quad k_{rn}(S_w) = (1 - S_w)^r \quad (50)$$

اعتباربخشی به روش حاضر به وسیله‌ی حل معادله‌ی باکلی - لورت^{۱۱}

ابتدا با حل جریان در یک محیط متخلخل با نفوذپذیری همگن، کارآئی روش هیبرید نشان داده شده است. معادله‌ی باکلی - لورت این معادله‌ی درجه اشباع این دو نمونه در نظر گرفتن اثر فشار موئینگی است. می‌توان این معادله را بدقت حل کرد و از آن به عنوان معیاری برای مقایسه کارآئی روش‌ها با هم استفاده کرد. قبل از ارائه نتایج، کمیت‌های بی‌بعد مکان، زمان و درجه اشباع مطابق معادله‌های ۵۱ تا ۵۳ تعریف می‌شوند:

$$x_D = \frac{x}{L} \quad (51)$$

$$t_D = \frac{u_t}{(1 - S_{or} - S_{wr})\varphi L} t \quad (52)$$

$$S = \frac{S_w - S_{wr}}{1 - S_{or} - S_{wr}} \quad (53)$$

در این معادلات S_{or} و S_{wr} به ترتیب درجه اشباع مانده‌ی آب و نفت هستند. معادله‌ی باکلی - لورت عبارت است از:

$$\frac{\partial S_w}{\partial t} + \frac{u}{\varphi} \frac{\partial f_w(S_w)}{\partial x} = 0 \quad (54)$$

در این بخش لزجت نفت (μ_w/μ_s) برابر لزجت آب (μ_s/μ_w) فرض شده است. برای بررسی کارآئی روش اجزاء محدود تکیبی هیبرید، علاوه بر مقایسه‌ی نتایج با روش تحلیلی، آن را با روش‌های اختلاف محدود بالا دست، لکس فردریچ^{۱۲} و لکس واندروف^{۱۳} مقایسه کرده‌ایم. اگر معادله‌ی ۵۴ را به روش بالا دست گستته کنیم خواهیم داشت:

$$S_i^n = S_i^{n-1} + \frac{u\Delta t}{\varphi\Delta x} (f_i^{n-1} - f_{i-1}^{n-1}) \quad (55)$$

$$v_{K,A,A'} = \frac{\alpha_{K,A}\alpha_{K,A'}}{\alpha_K} \quad (40)$$

$$\begin{aligned} \alpha_{K,A} &= \sum_{A \subset \partial K} A_{K,A,A'}^{-1} \\ \alpha_K &= \sum_{A \subset \partial K} \alpha_{K,A} \end{aligned} \quad (41)$$

در معادلات بالا، بالاترین MH معرف اجزاء محدود تکیبی هیبرید است. می‌توان تأثیر کرد که دستگاه فوق دارای یک جواب است و ماتریس $(M^{MH} - N^{MH})$ متقارن و مثبت معین است.^[۹] در این ماتریس بلوك صفر روی قطر اصلی وجود ندارد، به همین دلیل ماتریس از نوع مسائل زینی نیست و می‌توان از روش‌های استاندارد آن را معکوس کرد. با حل این دستگاه TPK ها روی هر ضلع به دست می‌آیند و از روی آن‌ها P_K, Q_A حاصل می‌شود.

گستته‌سازی معادله‌ی درجه اشباع

q_s مطابق معادله‌ی ۴۲ تعریف می‌شود:

$$q_s = \nabla S \quad (42)$$

فرم تغییراتی این معادله عبارت است از:

$$AKQ_{SK} = (S_K DIV_K^T - TS_K) \quad (43)$$

که در آن ماتریس‌ها همانند ماتریس‌های تعریف شده قبلی اند. با توجه به معادله‌ی ۴۳ و با داشتن مقدار S_K در المان مورد نظر و مقادیر TS_K بر روی اصلاح این المان، مقادیر $Q_{SK,i}$ و به تبع آن q_s قابل محاسبه است. با توجه به شکل ۳ این دو المان در یک ضلع با هم مشترک‌اند. برای تابع TS_h داریم:

$$\begin{aligned} TS_{K,A} &= TS_{K',A} \\ Q_{SK,A} + Q_{SK',A} &= 0 \end{aligned} \quad (44)$$

می‌توان معادله‌ی درجه اشباع را چنین نوشت:

$$\phi \frac{\partial S}{\partial t} + \frac{df_w}{dS} \vec{u} \cdot \nabla S - \vec{\nabla} \cdot \left\{ \lambda f_w f_n \vec{K} \cdot \left[\frac{dp_c}{dS} \vec{\nabla} S \right] \right\} = 0 \quad (45)$$

حال معادله‌ی ۴۵ را در یک تابع آزمون (χ_k) ضرب کرده و بر روی المان K انتگرال‌گیری می‌شود.

$$\begin{cases} \chi_k = 1 & \text{in } K \\ \chi_k = 0 & \text{else where} \end{cases} \quad (46)$$

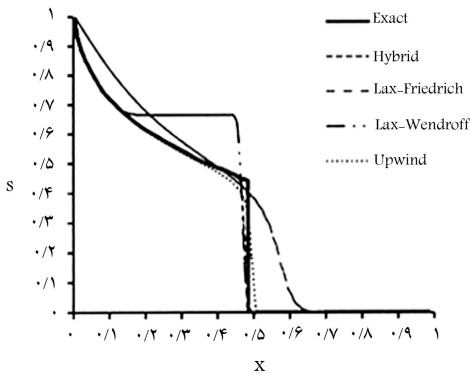
در نتیجه:

$$\begin{aligned} |K| \varphi \frac{S_k^n - S_k^{n-1}}{\Delta t} + \sigma_E \sum Q_s + \\ \frac{df}{dc} \left[\begin{array}{l} \left(\frac{1}{\varphi} Q_1 - \frac{1}{\varphi} Q_1 \right) Q_{s1} + \left(-\frac{1}{\varphi} Q_1 + \frac{1}{\varphi} Q_1 \right) Q_{s2} + \\ \left(\frac{1}{\varphi} Q_2 - \frac{1}{\varphi} Q_2 \right) Q_{s2} + \left(-\frac{1}{\varphi} Q_2 + \frac{1}{\varphi} Q_2 \right) Q_{s1} \end{array} \right] = 0 \end{aligned} \quad (47)$$

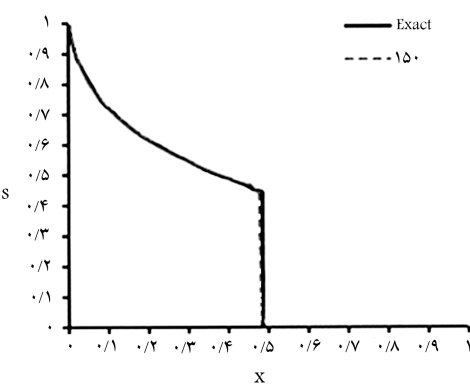
در این معادله اندیس‌های ۱ تا ۴ مطابق تعاریف شکل ۱ است؛ در معادله‌ی ۴۷ نیز σ_E چنین به دست می‌آید:

$$\sigma(S_w) = -\lambda f_w f_n \vec{K} \frac{dp_c}{dS} \quad (48)$$

$$\sigma_E \frac{1}{4} \sum_{j=1}^4 \sigma(TS_{A_j}) \quad (49)$$



شکل ۷. نتایج حاصله برای تعداد شبکه‌ی ۱۰۰.



شکل ۸. نتایج حاصله از روش هیبرید برای تعداد شبکه‌ی ۱۵۰.

مطابق انتظار بهبود می‌یابد، به طوری که مکان‌بایی نقطه‌ی ناپیوستگی دقیق‌تر شده و لی در نقاط نزدیک به نقطه‌ی ناپیوستگی جواب‌های حاصله از خطاهای زیادی برخوردارند. مقایسه‌ی نتایج حاصل از روش هیبرید نشان می‌دهد که این روش در تشخیص نقطه‌ی ناپیوستگی بسیار قوی است و با اضافه‌کردن تعداد شبکه خطاهای سرعت به سمت صفر میل می‌کند. همان‌طور که در شکل ۸ نشان داده شده است با تعداد شبکه‌ی ۱۵۰، به حل تقریباً دقیق خواهیم رسید.

مثال عددی دو بعدی و محیط همگن

مثال عددی دوم میدان جریانی دو بعدی است که به «بنج نقطه»^{۱۵} مشهور بوده و در شکل ۹ نشان داده شده است. ابعاد این میدان $300 \text{ m} \times 300 \text{ m}$ است و ضریب نفوذی بر و تخلخل این محیط $K = 10^{-7} \text{ m}^2$ و $\varphi = 0.2$ است. یادآور می‌شود که خصوصیات این محیط به صورت همگن در نظر گرفته شده است. چگالی آب و نفت برابر 1000 kg/m^3 و لزجت آب برابر 1 kg/(ms) و لزجت نفت 4 kg/(ms) در نظر گرفته شده است. شرایط مرزی در مرز تربیق (نقطه‌ی $(0,0)$) عبارت است از:

$$P_n = 2,10^5 [\text{Pa}], \quad q_w = 0,12 [\text{kg/s}] \quad (58)$$

شرایط مرزی در مرز تولید (نقطه‌ی $(300, 300)$) نیز عبارت است از:

$$S_w = 0,1, \quad q_n = -0,12 [\text{kg/s}] \quad (59)$$

و اگر به روش مرتبه اول لکس فدریچ گستته شود، داریم:

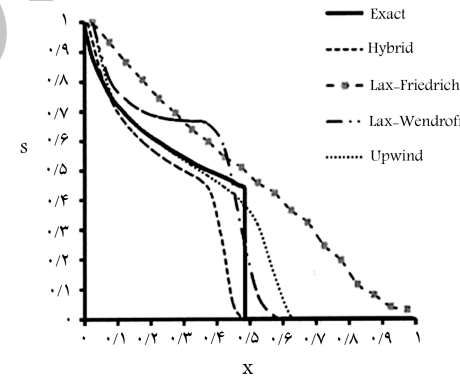
$$S_i^{n+1} = \frac{1}{2} (S_{i+1}^n + S_{i-1}^n) - \frac{u\Delta t}{2\varphi\Delta x} (f_{i+1}^{n-1} - f_{i-1}^{n-1}) \quad (56)$$

و نیز اگر به روش مرتبه دوم لکس واندروف گستته شود خواهیم داشت:

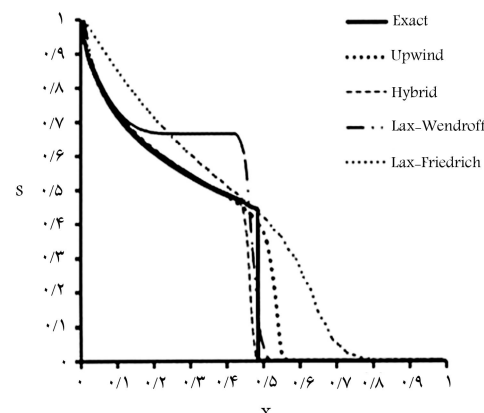
$$\begin{aligned} S_i^{n+1} &= S_i^n - \frac{u\Delta t}{2\varphi\Delta x} (f_{i+1}^n - f_{i-1}^n) + \frac{u\Delta t^2}{2\varphi\Delta x^2} \\ &\quad [a_{i+\frac{1}{4}}(f_{i+1}^n - f_i^n) - a_{i-\frac{1}{4}}(f_i^n - f_{i-1}^n)] \end{aligned} \quad (57)$$

که در آن $a = \frac{\partial f}{\partial S}$. در ادامه، نتایج حاصل از بهکارگیری این روش‌ها برای حل معادله‌ی باکلی - لورت با هم مقایسه شده‌اند. این نتایج برای زمان بی بعد شده $0,3$ و سه نوع اندازه شبکه‌ی ۲۰ و ۵۰ و ۱۰۰ در دامنه یک بعدی هستند.

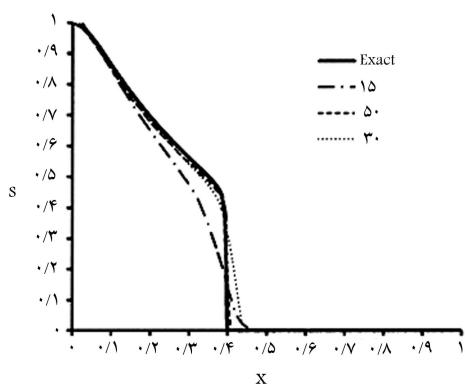
با توجه به نتایج به دست آمده می‌توان نتیجه گرفت که روش مرتبه اول لکس فدریچ از دقت کمی برخوردار است و در نقاط هموار به دلیل اتفاق عددی، جواب‌ها خطای زیادی دارند. همچنین این روش در مکان‌بایی نقطه‌ی ناپیوستگی ضعیف عمل می‌کند (شکل‌های ۵ تا ۷). شیوه‌ی عمل این روش آن است که برای رسیدن به جواب قابل قبول باید دامنه را به 2000 قسمت تقسیم کرد که زمان محاسباتی بالایی را شامل می‌شود. روش مرتبه دوم لکس واندروف دقت خوبی در مکان‌بایی محل شوک دارد و همچنین در نقاط هموار جواب‌ها از دقت بالایی برخوردارند ولی در نزدیکی محل شوک به دلیل پخش عددی^{۱۶} بالا دارای خطای زیادی است. دیده می‌شود که حتی با اضافه‌کردن تعداد شبکه این پخش عددی او بین نمی‌رود. در روش بالا دست نیز هدردهی عددی زیاد است ولی با اضافه‌کردن تعداد شبکه این هدردهی



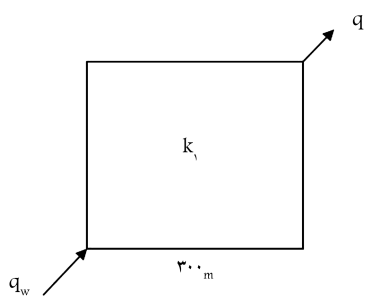
شکل ۵. نتایج حاصله برای تعداد شبکه‌ی ۲۰.



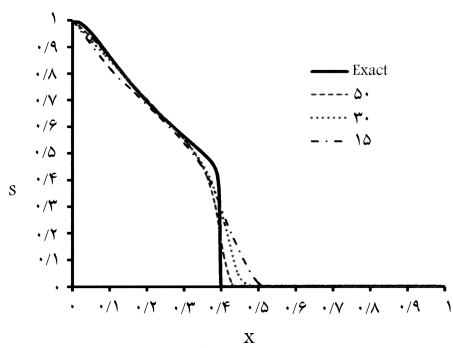
شکل ۶. نتایج حاصله برای تعداد شبکه‌ی ۵۰.



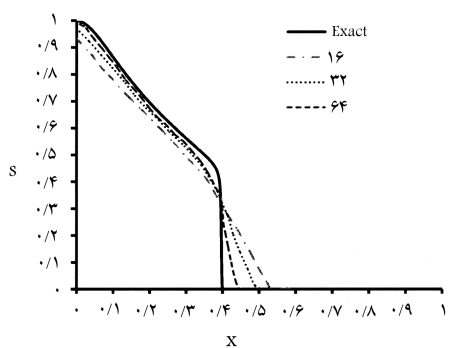
شکل ۹. نتایج عددی دو بعدی با یک ورودی و یک خروجی.



شکل ۱۰. نتایج حاصله از روش هیبرید در حل میدان شکل ۹.



شکل ۱۱. نتایج حاصله از روش بالادست.



شکل ۱۲. نتایج حاصل از روش گلرکین بالادست توسط هوبر. [۱۱]

هوبر در روش بعدی معادلات سرعت و فشار را به وسیله‌ی روش هیبرید، و معادله‌ی درجه اشباع را به وسیله‌ی فلاکس‌های محدودکننده حل کرده که نتایج آن در شکل ۱۳ ارائه شده است. چنان‌که در این شکل مشاهده می‌شود، برای رسیدن به حل دقیق، هنگامی که از روش فلاکس محدودکننده استفاده می‌شود باید از شبکه‌ی ۶۴*۶۴ استفاده کرد، در صورتی که در روش هیبرید با تعداد شبکه‌ی ۵۰*۵۰ به حل دقیق خواهیم رسید. همچنین با مقایسه شکل‌های ۱۰ و ۱۳، با تعداد شبکه‌ی ۳۰*۳۰ جواب‌های حاصل از روش هیبرید نسبت به روش فلاکس محدودکننده به جواب دقیق بسیار نزدیک است.

در ادامه در شکل‌های ۱۴ الی ۱۹ خطوط تراز درجه اشباع آورده شده است. با توجه به این خطوط در می‌باییم که روش هیبرید نسبت به تغییر شبکه واکنش بهتری دارد، به طوری که با زیادشدن تعداد شبکه جواب‌ها به سرعت به جواب دقیق نزدیک می‌شود. در روش بالادست خطوط تراز به دست آمده با تعداد تقسیمات

اندیس n معرف فاز نفت (فاز غیر ترکمنده) و اندیس w معرف فاز آب (فاز ترکمنده) است. شرایط اولیه به صورت $S_w = 0$ و گام زمانی یک روز در نظر گرفته شده است؛ این محاسبات برای مدت زمان ۴۰۰ روز انجام شده است. در ادامه، نتایج به دست آمده از مدل‌سازی این دامنه برای همان مدت زمان ۴۰۰ روز آمده است. حل دقیق معادله‌ی درجه اشباع بر روی قطر اصلی را می‌توان از طریق حل معادله‌ی باکلی - لورت، و به این ترتیب به دست آورد: [۱۱]

$$\frac{\partial S_w}{\partial t} + \frac{u}{r\varphi} \frac{\partial (rf_w)}{\partial r} = 0 \quad (60)$$

که در آن r فاصله‌ی شعاعی از نقطه‌ی تزریق است. چون در این نوشتار فرض بر این است که فازها غیر قابل تراکم‌اند می‌توان f را به فرم $f(S_w, r) = f_w(S_w)/r$ فرم f را به فرم $f(S_w, r) = f_w(S_w)/r$ در نظر گرفت، و در نتیجه: [۱۱]

$$\frac{\partial S_w}{\partial t} + \frac{u}{r\varphi} \frac{\partial f_w(S_w)}{\partial r} = 0 \quad (61)$$

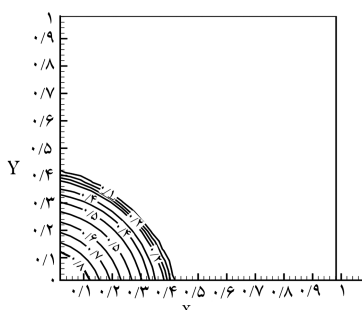
در نهایت داریم:

$$\frac{\partial S_w}{\partial t} = - \frac{u}{r\varphi} \frac{\partial f_w}{\partial S_w} \frac{\partial S_w}{\partial r} \quad (62)$$

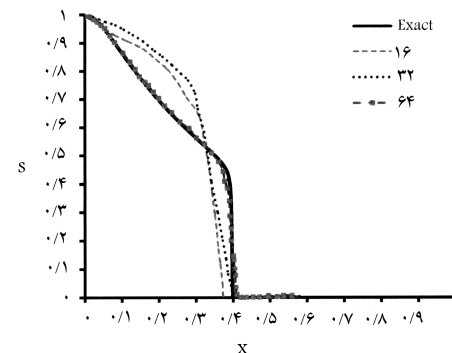
این معادله به روش اختلاف محدود با تعداد نقاط زیاد حل شده و به عنوان روش حل دقیق معرفی شده است. ابتدا برای درک بهتر از این که روش عددی هیبرید چگونه به حل دقیق همگرا می‌شود، مقدار درجه اشباع روی قطر اصلی برای تعداد تقسیمات متفاوت با حل دقیق این معادله مقایسه شده و در شکل ۱۰ نشان داده شده است. چنان‌که دیده می‌شود روش هیبرید با تعداد شبکه‌ی ۵۰ کاملاً به حل دقیق نزدیک می‌شود.

مجدداً برای حل جریان در میدان شکل ۹، دو روش هیبرید و بالادست با یکدیگر مقایسه شده‌اند. با توجه به شکل‌های ۱۰ و ۱۱ دیده می‌شود که روش هیبرید با تعداد نقاط کم‌تر به جواب بهتری می‌رسد. از طرف دیگر روش هیبرید با افزایش تعداد تقسیمات با سرعت بیشتری به جواب دقیق نزدیک می‌شود ولی روش بالادست در نقاط نایپوستگی نسبت به افزایش تعداد تقسیمات عکس العمل خوبی ندارد. هرچند با افزایش تعداد تقسیمات، مکان‌بابی نقطه‌ی نایپوستگی توسط این روش بهبود می‌باشد ولی با تعداد شبکه‌ی ۵۰ همچنان در نقطه‌ی نایپوستگی دارای خطای زیادی است.

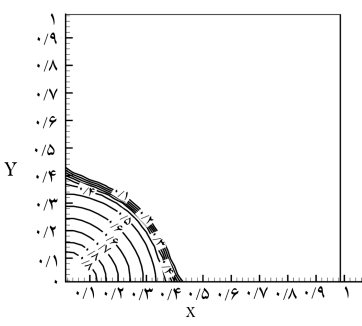
معادلات سرعت و فشار و درجه اشباع به روش اجزاء محدود گارکین بالادست برای این میدان جریان توسط هوبر حل شده است [۱۱]. نتایج آن در شکل ۱۲ آمده است. چنان‌که در این شکل مشاهده می‌شود، نتایج روش اجزاء محدود استاندارد بر اثر تغییر زیاد شبکه، چنان‌که تغییر نمی‌کند ولی در روش هیبرید (شکل ۱۰) با تغییر شبکه، نتایج به سرعت به حل دقیق نزدیک می‌شود.



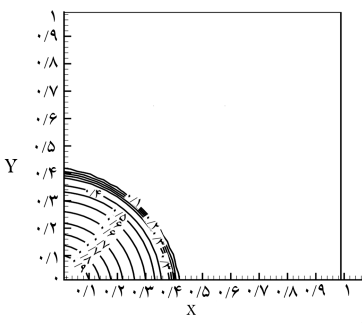
شکل ۱۶. خطوط تراز درجه اشباع با شبکه 30^*30 روش بالادست.



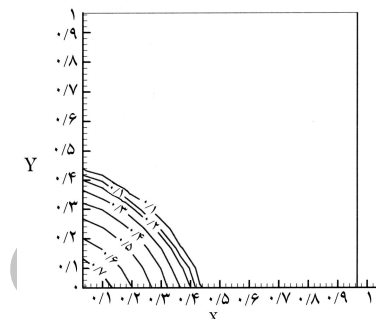
شکل ۱۳. نتایج حاصل از روش فلاکس محدودکننده توسط هوبر.^[۱]



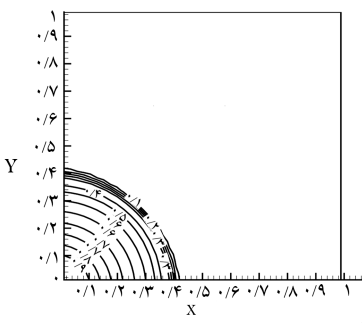
شکل ۱۷. خطوط تراز درجه اشباع با شبکه 30^*30 روش هیبرید.



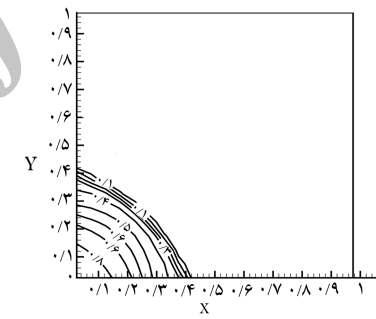
شکل ۱۸. خطوط تراز درجه اشباع با شبکه 50^*50 روش بالادست.



شکل ۱۴. خطوط تراز درجه اشباع با شبکه 15^*15 روش بالادست.

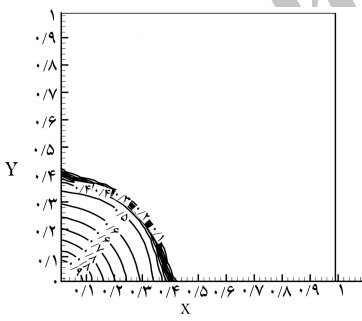


شکل ۱۹. خطوط تراز درجه اشباع با شبکه 50^*50 روش هیبرید.



شکل ۱۵. خطوط تراز درجه اشباع با شبکه 15^*15 روش هیبرید.

متفاوت تقریباً یکسان است و چنان که انتظار می‌رود این روش به تغییر شبکه چندان حساس نیست؛ همچنین جواب‌های شبکه کمتر با جواب‌های شبکه زیاد با هم فرق چندانی ندارند. تنها تفاوت موجود بین آنها این است که در شبکه بیشتر مکان‌یابی نقطه‌ی نایپوستگی کمی دقیق تر شده است.



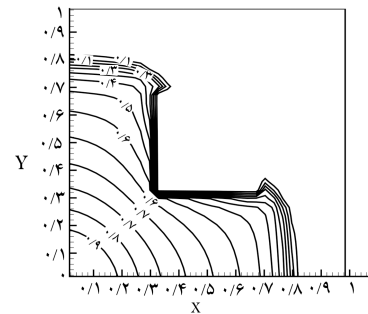
شکل ۲۰. میدان حل پنج نقطه با دو میدان نفوذپذیری متفاوت.

مثال عددی دو بعدی و محیط ناممگن

میدان جریانی به صورت شکل ۲۰ در نظر گرفته شده است. این میدان همانند میدان حل شده قبلي است با اين تفاوت که يك قسمت با نفوذپذيری کمتر، همانند شکل ۲۰، در داخل آن وجود دارد. ضرایب نفوذپذیری این میدان این گونه انتخاب شده‌اند:

$$K_1 = 10^{-10} m^2$$

$$K_2 = 10^{-7} m^2$$



شکل ۲۱. خطوط تراز درجه اشباع آب در میدان شکل ۲۰.

نفوذ بیشتر است. این طبیعت باعث می‌شود که در هنگام حل معادلات حاکم بر محیط متخلخل، جواب‌ها به دقیق‌بودن سرعت حساس باشد. از این رو در هنگام حل معادلات سرعت و فشار باید از روش‌های با دقت بالا استفاده کرد. اما در روش‌های کلاسیک بدلیل این‌که از میدان فشار مشتق گرفته شده و مشتق‌گیری عددی دارای خطای زیادی است، دقت قابل قبولی ندارند. به همین دلیل برای به دست آوردن جواب‌های قابل قبول، در این نوشتار معادلات سرعت و فشار توسط اجزاء محدود ترکیبی هیبرید به صورت همزمان حل شده و لذا عملیات مشتق‌گیری از میدان فشار حذف شده است. این امر باعث می‌شود که میدان سرعت به دست آمده از این روش از دقت بالایی برخوردار باشد. نتایج نشان داده است که جواب‌های به دست آمده از این روش نسبت به روش‌های دیگر، از جمله روش‌های اختلاف محدود، به حل دقیق نزدیک‌تر باشند. هنگامی که جواب‌های حاصله از روش گلرکین با جواب‌های روش هیبرید مقایسه می‌شوند، قدرت روش هیبرید نمایان می‌شود. همچنین نشان داده شده که این روش در شبکه‌ی درشت‌تر دقت مناسب‌تری در مقایسه با روش‌های اختلاف محدود دارد.

علاوه بر این روش هیبرید از مهم‌ترین خاصیت المان محدود برخوردار است که می‌توان از شبکه‌های غیر مستطیلی استفاده کرد. لذا برای محیط‌های متخلخل به شدت ناهمگن نیز قابل کاربرد است.

نتیجه‌گیری

۱

شکل ۲۱ خطوط تراز درجه اشباع به دست آمده از روش عددی هیبرید را نشان می‌دهد. چنان‌که پیداست این روش دامنه‌ی ناهمگن را هم به خوبی مدل می‌کند.

پانوشت

1. numerical dissipation
2. upwind
3. mixed-finite element
4. saddle point problem
5. mixed-hybrid finite element
6. global pressure
7. global velocity
8. mobility
9. variational
10. todd
11. Buckley-Leverett
12. Lax-Friedrich
13. Lax-Wendroff
14. numerical dispersion
15. five-spot

منابع

1. Chavent, G., and Roberts, J.E. "A unified physical presentation of mixed, mixed-hybrid finite elements and standard finite difference approximations for the determination of velocities in water flow problems", *Adv. Water Resources.*, **14**, pp. 329-348 (1991).
2. Durlofsky, L.J. "Accuracy of mixed and control volume finite element approximations to Darcy velocity and related quantities", *Water Resources Research*, **30**, pp. 965-973 (1994).
3. Masud, A., and Hughes, T.J.R. "A stabilized mixed-finite element method for Darcy flow", *Comput. Methods Appl. Mech. Engrg.*, **191**, pp. 4341-4370 (2002).
4. Mose, R.; Siegel, P.; Ackerer, P., and Chavent, G. "Application of the mixed hybrid finite element approximation in a groundwater flow model: Luxury or necessity?", *Adv. Water Resources*, **30**(11), pp. 3001-3012 (1994).
5. Chavent, G.; and Jaffre, J. "Mathematical models and finite elements for reservoir simulation", North-Holland, Amsterdam, (1986).
6. Aziz, K., and Settari, A. "Petroleum reservoir simulation", Elsevier: New York, (1986).
7. Bastian, P. "Numerical computation of multiphase flows in porous media", Christian-Albrechts-Universität at Kiel, (1999).
8. Ferdousi, P.A., and Manzari, M.T. "A space-time finite element formulation for simulation of immiscible two phase flow in porous media", Thirteenth Conference on Finite Elements For Flow Problem, 4-6 April, Swansea, Wales, United Kingdom (2005).
9. Helmig, R. *Multiphase flow and transport processes in the subsurface*, Springer, Berlin, (1997).
10. Shokri, N. "Numerical simulation of two-phase flow in porous media using flux limiters", MSc Thesis, School of Mechanical Engineering, Sharif Univ. Tech. (2006).
11. Huber, R., and Helmig, R. "Multiphase flow in heterogeneous porous media : a classical finite element method versus an implicit pressure-explicit saturation-based mixed finite element-finite volume approach", *International Journal for Numerical Methods in Fluids*, **29**, pp. 899-920 (1999).